

玉石河床の粒度分布調査

報田大学 学生員 ○藤原 裕
秋田大学 学生員 和田早苗
秋田大学 学生員 山本太平

1. はじめに

河川において流水抵抗及び流砂量等を評価するにあたり、河川の各地点の河床粒度を知ることは極めて重要である。過去の調査では、そのほとんどが砾河床で行なわれており、玉石河床を対象とした十分な粒度分布調査及び調査方法が示されていない。本報告では、玉石河床における粒度分布を知るために、ある河川を選び、砾河床での調査方法がそのまま玉石河床に適応し得るかどうか、比較検討する。

2. 調査概要

調査河川として選んだ大又川は、秋田県中部を流れる雄物川に流入する一級河川、岩見川の支流である。水源を丹波森(1037m)より探し、河川長は約19kmである。

今回の調査では、小又川との合流地点をPoint. 1とし、線格子法(11ヶ所)、面積格子法(10ヶ所)、平面採取法(8ヶ所)、單軸測定法(2ヶ所)を実施した。本報告では、河川の上流中流、下流よりそれぞれPoint 1, 7, 10を選び各方法における粒度分布を比較する。

3. 調査方法

①線格子法；河床上に直線を張り、一定間隔(河床材料の最大径以上)に区分して、その直线下にある石を採取する。

②面積格子法； $1 \times 1 \text{ m}^2$ の木枠を用いて、適當な間隔(測定対象河床上の最大粒径)に枠を張り、枠の交点下の石を採取する。

③平面採取法；一定表面の中にある表面に露出した全砾を採取する。

④單軸測定法；河床面を写真に写し、砾を読み取る。ここで、①②③では、砾の三軸長(長軸 a 、中軸 b 、短軸 c)を測定する。評価値として $\phi_d = (b/a \cdot C^2 \cdot Q^2 \cdot b^2)^{1/3}$ を用いる。また④では、二軸(a, b)しか読み取ることかできないため、評価値としては、 $\phi_d = (a+b)/2$ を用いる。測定個数は、各方法とも100個以上とした。

4. 調査結果及び検討

Point 1は、最大粒径が20cm程度で砾の分布状態は一様である。ここでは、図3-1が示すように、線格子法、面積格子法、平面採取法とも、ほぼ同様な粒度分布状態を得ている。また図3-2(このグラフは、線格子法、面積格子法、各々の粒度分布曲線から、20~90%確率を読みとり、グラフにプロットして両者の相関関係を調べたものである。図4-2、図5-2も同様)より両者はほぼ直線関係にあり、直線の傾きが粒度値、切片は0に近い。このような河床状態のところでは、どちらの方法もほぼ同様な粒度分布を得られるということが示されている。

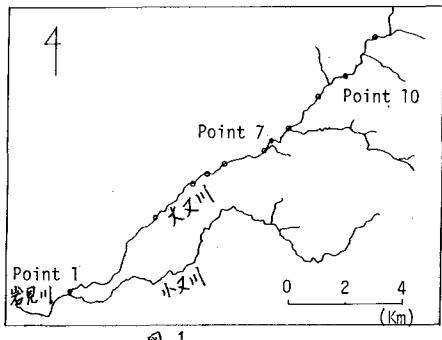


図-1

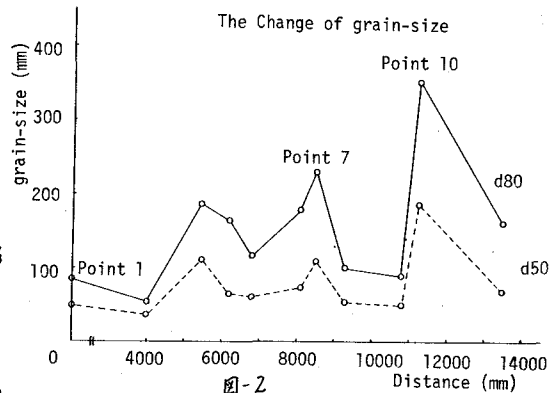


図-2

Point 7 は、最大粒径 50~60cm 程度で礫の分布状態が一様でない地点である。また Point 10 は、最大粒径 70~80cm 程度で、礫の分布状態は、Point 7 と同様である。両者とも、図 4-2、図 5-2 が示すようにアラフの傾きが、Point 7 の 3 倍以上になつている。これは明らかに両者の粒度分布が同じ傾向を示していふことである。

之らに、図 4-1、図 5-1 より、面積格子法、平面採取法に比べて、線格子法での粒度分布が大きな値を示していふことがわかる。その原因としては、面積格子法において、1×1m の本枠を使用するため測定対象域が 30cm 以下になつてしまつことがある。線格子法において、測定する石礫の大きさに限界がなく、広範囲に渡って採取できることがあげられる。また数ヶ全露点を測定する平面採取法においては、Point 7、10 のように明らかに、礫の分布状態が一様でなく、最大粒径が大きい地点での採取が不可能となる。

一方、Point 1、7 を実施した写真測定法では、図 3-1、図 4-1 より、明らかに他の 3 方法より大きな粒度分布を示している。これは、写真的尺度、角度、読み取り誤差などを考へると当然であろう。

5. おわりに

表面採取を行なう場合には、その地点の最大粒径、分布状態を見きわめ、なるべく片手で大採取をしないように心がけなければである。また、最大粒径が大きく、礫の分布状態が一様でない地点での採取においては、線格子法と面積格子法の長所を生かし両者を組み合わせるのも一つの方法である。

写真測定法に関しては、測定精度という点で問題はあるが、時間に余裕のない所や採取地点に近づけない場合に有効である。

6. 参考文献

- 河村三郎、小沢功一；山地河川における石河床材料のサンプリング方法と粒度分析 少木学術誌 1970
清水宏；線格子法による石河床礫の分布特性の解析 新研院 1982

